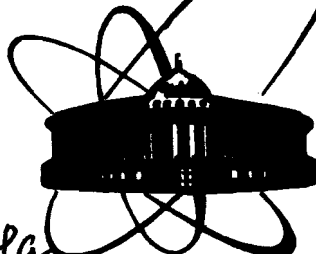


2633/88

88-58



1348а

сообщения
объединенного
института
ядерных
исследований
дубна

13-88-58

Ю.Н.Пепёлышев

ИЗМЕРЕНИЕ И АНАЛИЗ ФЛУКТУАЦИЙ
ЭНЕРГИИ ИМПУЛЬСОВ МОЩНОСТИ
РЕАКТОРА ИБР-2

1988

Флуктуации мощности для импульсного реактора ИБР-2 приводят к различным нежелательным эффектам: изменяется, например, динамика реактора, затрудняется процесс регулирования мощности, возникают сложности в работе экспериментальной и штатной аппаратуры и т.д. Кроме того, флуктуации ограничивают средний уровень допустимой мощности и сокращают ресурс активной зоны.

С другой стороны, случайные колебания мощности "полезны" тем, что при исследовании их статистических характеристик можно оценить некоторые ядерно-физические параметры активной зоны и определить неконтролируемые эффекты реактивности, вызванные отклонениями в работе различных технологических систем.

В настоящей статье приводятся основные результаты экспериментального исследования шумов мощности реактора ИБР-2, полученные в период энергетического пуска (1980-1984 гг.).

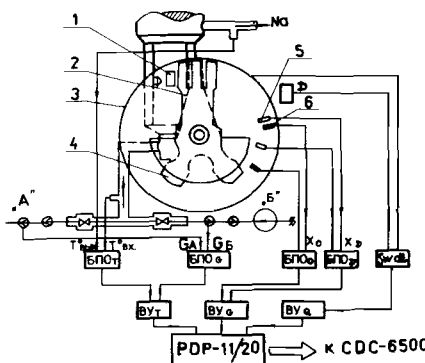
1. КРАТКОЕ ОПИСАНИЕ ИЗМЕРИТЕЛЬНОЙ АППАРАТУРЫ И МЕТОДИКИ ОБРАБОТКИ ЭКСПЕРИМЕНТАЛЬНЫХ ДАННЫХ

В основном исследовались флуктуации энергии импульсов мощности (Q) и их корреляция со случайными колебаниями основных параметров системы охлаждения активной зоны и с вибрациями подвижных отражателей (ПО): температурой натрия на входе ($T_{вх}$) и выходе ($T_{вых}$) из активной зоны, расходом натрия в петлях А (G_A) и Б (G_B) первого контура, с суммарным расходом ($G = G_A + G_B$), осевыми перемещениями основного (X_o) и дополнительного (X_d) подвижных отражателей (ОПО, ДПО), углом рассинхронизации ОПО-ДПО (ϕ) и с периодом вращения отражателей (T_o, T_d).

Измерения проводились с использованием системы для корреляционного и спектрального анализа реакторных параметров^{1/}. Структурная схема измерительной системы показана на рис. 1.

Обработка экспериментальных данных осуществлялась на ЭВМ CDC-6500 и включала основные процедуры статистического анализа стационарных временных рядов^{2, 3/}. Длина временного ряда задавалась равной 8192. Время измерения, в течение которого в памяти ЭВМ фиксировались последовательные значения энергии импульсов мощности и значения сопутствующего ей параметра, изменялось от 5 до 35 мин. Для дискретных (во времени) процессов ($Q, X_o, X_d, \phi, T_o, T_d$) верхняя граничная частота экспериментальных спектров ($f_c = f_o/2$)

Рис. 1. Принципиальная схема измерения шумовых характеристик реактора ИБР-2: Д – нейтронные детекторы, БПО – блоки предварительной обработки сигналов с датчиками температуры (T), расхода натрия (G) перемещений ОПО (O) и ДПО (D); ВУ – входные устройства ЭВМ в системе КАМАК при измерении температуры (T), расхода (G) и энергии импульсов мощности (Q); 1 – нейтронный детектор в центре АЗ, 2 – ДПО, 3 – кожух ПО, 4 – ОПО, 5,6 – емкостные датчики осевых перемещений ДПО и соответственно ОПО.



составляла 2,5 Гц в режиме 5 1/с и 12,5 Гц в режиме 25 1/с. В качестве детекторов нейтронов использовались ионизационные и вакуумные камеры КВК-1, RWKJ-8, КНК-15, КНТ-14, КНТ-54 и сцинтилляционные детекторы по протонам отдачи.

2. УСЛОВИЯ ИЗМЕРЕНИЙ

Реакторные шумы исследовались в зависимости от уровня средней мощности (W) и расхода теплоносителя через активную зону (G). Уровень W задавался в диапазоне от ~0 до 2 МВт, а значение G – от 8 до 110 м³/ч*. В диапазоне 0,03 ≤ W ≤ 2 МВт и $G > 40$ м³/ч шумы мощности дополнительно исследовались при отключенной системе автоматического регулирования мощности (AP), а в диапазоне 0,5 < W ≤ 2 МВт – в процессе линейного изменения мощности, задаваемого системой AP. При малой мощности ($W \leq 4,5$ кВт) проводились измерения шумов в стационарном (не импульсном) режиме работы реактора.

При частоте следования импульсов мощности, равной 5 1/с, исследовался в основном режим, близкий к эксплуатационному: расход натрия изменялся в небольших пределах (70–100 м³/ч), вращение ПО осуществлялось со стабилизацией скорости ОПО (в пределах 0,1%), а уровень средней мощности поддерживался системой AP.

* Номинальный расход натрия через активную зону составляет 100 м³/ч.

3. ЭКСПЕРИМЕНТАЛЬНЫЕ РЕЗУЛЬТАТЫ

Экспериментальные данные систематизированы в зависимости от условий работы реактора и особенностей реакторных шумов. Эти данные приведены ниже в отдельных разделах.

3.1. Режим непрерывной стационарной мощности (без вращения ПО) $5 \text{ Вт} \leq W \leq 1 \text{ кВт}$

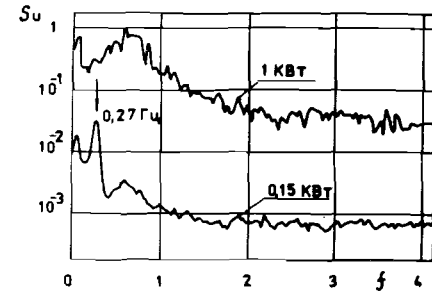
Этот режим использовался для получения первых предварительных данных о характере реакторных шумов и их корреляции с работой основных технологических систем. Условия измерений позволяли непосредственно связать форму спектральной плотности шумов тока ионизационной камеры $S_u(f)$ с флуктуациями реактивности $S_n(f) \sim \sim |\rho(f)|^2$. Измеряемая величина ρ определялась с погрешностью ($\Delta\rho$) не хуже $\sim 10^{-6} \Delta K/K$ (0,05 %) или ($\Delta\rho/\beta$) = ($\Delta W/W$) ≈ $\approx 5 \cdot 10^{-4}$, где ΔW – погрешность измерения шумов мощности, $\beta = 2,165 \cdot 10^{-3}$ – эффективная доля запаздывающих нейтронов.

Эксперименты показали, что суммарные эффекты реактивности, обусловленные:

- продуванием воздуха через стационарные отражатели,
- циркуляцией воды в замедлителях,
- циркуляцией воды в кожухе ПО,

не превышали ошибку измерения, и их влиянием на шумы мощности в импульсном режиме можно пренебречь ($\sigma_Q/Q \lesssim 0,5\%$). На рис. 2 приведена характерная форма S_u при $G = 100$ м³/ч. Там же показан спектр S_n с калибровочным пиком на частоте 0,27 Гц (от осциллирующего движения промежуточного регулятора на ± 0,2 %). Основная мощность шума сосредоточена в частотном диапазоне [0,1; 1,0] Гц и практически полностью вызвана движением натрия через активную зону. Например, суммарная интенсивность шума в этой области частот при изменении расхода натрия от 40 до 100 м³/ч увеличивается в 7 раз. Однако при $G \leq 40$ м³/ч уровень низкочастотных шумов слабо зависит от G и практически совпадает с фоновым (с уровнем на частотах выше 1 Гц). Амплитуда колебаний реактивности на некоторых выделенных частотах, например, на частоте ~ 0,45 или

Рис. 2. Режим непрерывной мощности (без вращения ПО). Спектральная плотность реакторных шумов S_u при некоторых значениях средней мощности реактора. f – частота в Гц. Расход натрия через активную зону равен 100 м³/ч. Пик 0,27 Гц обусловлен осцилляцией внешней реактивности от движения промежуточного регулятора.



~ 0,65 Гц, не превышает 0,05÷0,06 %. При номинальном расходе теплоносителя случайные колебания мощности (σ_W/W) составляют 0,2 ÷ 0,35%, а флуктуации внешней реактивности (σ_p) — соответственно 0,2 ÷ 0,35 %.

Таким образом, влияние различных случайных эффектов на шумы мощности, в том числе и эффектов, связанных с движением натрия через активную зону, оказалось незначительным.

3.2. Режимы 25 и 5 1/с. Стохастические флуктуации мощности.

$$W \leq 100 \text{ Вт.}$$

При малой мощности основной причиной флуктуаций является стохастический характер процесса деления и размножения нейтронов. Подробно исследовалась область $0,03 \leq W \leq 100$ Вт, соответствующая изменению максимальной реактивности ϵ_m от значения, несколько меньшего мгновенной критичности ($\epsilon_m < 0$), до равновесного, равного в режиме 5 1/с $1,06 \cdot 10^{-3}$ и $0,77 \cdot 10^{-3}$ — в режиме 25 1/с. Относительная дисперсия флуктуаций энергии импульсов мощности $\sigma^2 = \sigma_Q^2/Q^2$ в зависимости от величины W^{-1} приведена на рис. 3. Как видно из рисунка, в обоих режимах (25 и 5 1/с) экспериментальные данные хорошо согласуются между собой и при $W \geq 1$ Вт их можно аппроксимировать зависимостью:

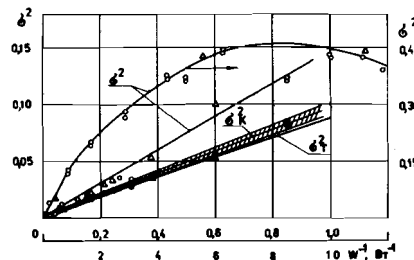


Рис. 3. Зависимость относительной дисперсии энергии импульсов мощности от величины W^{-1} в режимах 25 1/с (0) и 5 1/с (Δ). (●, ▲ — соответственно после исключения низкочастотного тренда): σ^2 — измеренная, σ_K^2 — с коррекцией на низкочастотный тренд, σ_T^2 — расчетная. Заштрихованная область включает погрешность в определении σ_K^2 . Нижняя ось абсцисс соответствует правой шкале ординат.

$$\sigma^2 = \delta_0^2 + \frac{0,148}{W}, \quad (1)$$

где $\delta_0^2 \ll 1$; [W] = Вт.

Согласно работе^{1/4}, дисперсия σ_T^2 в указанном выше диапазоне ϵ_m (здесь индекс "T" указывает на теоретическую оценку σ^2) равна:

$$\sigma_T^2 = \Delta^2 (1 + \delta_0^2) + \delta_0^2, \quad (2)$$

где $\Delta^2 = \frac{\bar{\nu} \Gamma_2}{2 S_r}$ — относительная дисперсия стохастических флюктуаций, а δ_0^2 — относительная дисперсия, обусловленная флуктуациями внешней реактивности; $S = S_{\text{сп}} + S_3$ — интенсивность постоянно действующего во время импульса источника нейтронов спонтанного деления $S_{\text{сп}}$ и запаздывающих нейтронов $S_3 = \bar{\nu} \beta W$.

Для экспериментальных значений $S_{\text{сп}} = 7,7 \cdot 10^6$ н/с и $\bar{\nu} = 62$ нс, а также данных, полученных при измерении абсолютной мощности реактора ($182 \text{ МэВ} \rightarrow 3,434 \cdot 10^{10}$ дел/с Вт), теоретическую зависимость (2) можно при условии $\delta_0^2 \ll 1$ представить в виде:

$$\sigma_T^2 \approx \delta_0^2 + \Delta^2 = \delta_0^2 + \frac{1,97}{0,77 + 22,3 W},$$

где $\bar{\nu} = 3$ нейтр/дел, $S = (0,77 + 22,3 W) \cdot 10^7$ нейтр/с, [W] = Вт. При $W \geq 0,2$ Вт имеем:

$$\sigma_T^2 \approx \delta_0^2 + \frac{0,0884}{W}, \quad [W] = \text{Вт}. \quad (3)$$

Из (1) и (3) видно, что расчетная зависимость $\sigma_T^2(W^{-1})$ в 1,67 раза занижает дисперсию Δ^2 по сравнению с ее измеренной величиной. Одна из причин отмеченного расхождения была связана с дополнительным увеличением флуктуаций за счет медленного изменения мощности в процессе измерения. Частично это было вызвано неточностью установки критического состояния и действиями оператора, направленными на поддержание мощности.

С учетом коррекции исходных экспериментальных данных на дополнительные нестохастические шумы зависимость $\sigma^2(W^{-1})$ оказалась близкой к расчетной и равной

$$\sigma_K^2 = \delta_0^2 + \frac{(0,097 \pm 0,005)}{W}. \quad (4)$$

Мощность дана в Вт (см. рис. 3).

Более детальную информацию о статистических свойствах реакторного шума дает плотность распределения энергии импульсов мощности $P(Q)$.

Для некоторых уровней мощности распределение $P(Q)$ в режиме 25 1/с показано на рис. 4. Там же приведена теоретическая форма распределения $P_T(X)^{1/4}$:

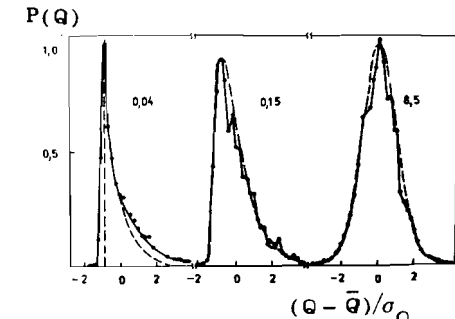


Рис. 4. Плотность распределения энергии импульсов мощности $P(Q)$ в режиме 25 1/с при некоторых значениях средней мощности реактора (Вт). Сплошная линия — расчет по формуле (5).

$$P_T(X) dX = \frac{(X)^{1/\Delta^2 - 1}}{\Gamma(1/\Delta^2)} \exp(-X) dX, \quad (5)$$

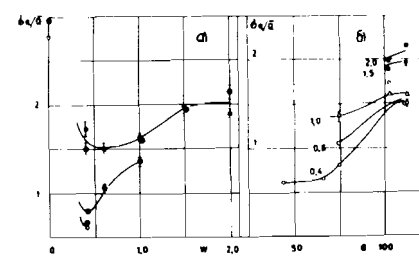
где $X = \frac{n}{\bar{n} \Delta^2}$; \bar{n} — среднее число нейтронов в реакторе; $\Gamma(z)$ — гамма-функция. Для сопоставления с экспериментальной гистограммой распределение $P_T(X)$ вычислялось в виде:

$$P_T(X) = \frac{1}{\Delta X} \int_{X+\Delta X} P_T(X') dX', \quad \text{где } \Delta X = \frac{0.2 Q}{\Delta}.$$

Согласно⁴, при $S_T \gg 1$, т.е. при $W \gg 0.1$ Вт, распределение $P_T(X)$ (распределение типа χ^2) стремится к гауссовому. Из рис. 4 также видно, что расчетная и экспериментальная формы распределений достаточно хорошо согласуются между собой. Некоторое различие между $P(Q)$ и $P_T(X)$ связано с ошибкой в определении уровня мощности.

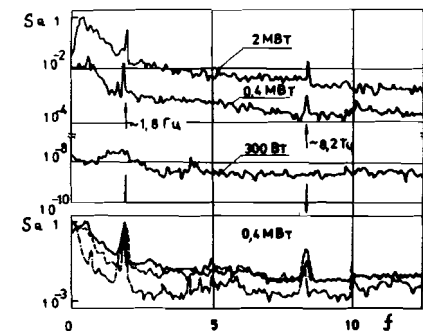
3.3. Режим 25 1/c. $W > 1$ кВт

При большом уровне мощности стохастические флуктуации малы ($\Delta \leq 1\%$), и основной вклад в колебания мощности вносят шумы внешней реактивности. Величина σ_Q / \sqrt{Q} как функция W и G представлена на рис. 5 (значение σ_Q / \sqrt{Q} вблизи точки $W = 0$ на рис. 5 приведено для $W = 300$ Вт, когда вклад стохастических шумов еще велик $\Delta = 1.8\%$). Возрастание шумов при увеличении W выше 0,5 МВт и G выше $60 \text{ м}^3/\text{ч}$ обусловлено действием мощностной обратной связи и частично, как показано в разд. 4, с некоторым увеличением шумов внешней реактивности.



Характерный вид спектра колебаний энергии импульсов мощности (S_Q) при некоторых значениях W и G показан на рис. 6. Как видно из этого рисунка, на форму спектра S_Q влияют и уровень мощности и величина расхода, особенно в низкочастотной области спектра

Рис. 6. Режим 25 1/c. Спектральная плотность флуктуаций энергии импульсов мощности S_Q приnominalном значении расхода теплоносителя ($G = 100 \text{ м}^3/\text{ч}$) и некоторых значений средней мощности. Внизу — форма S_Q при $W = 0.4 \text{ МВт}$ при некоторых значениях G : $100 \text{ м}^3/\text{ч}$ (—), $66 \text{ м}^3/\text{ч}$ (- - -) и $40 \text{ м}^3/\text{ч}$ (- . -) f — частота, Гц.



ниже 2 Гц. Так, например, средняя частота \bar{f} низкочастотной компоненты спектра S_Q ($0.01 \leq f \leq 1.54$ Гц) зависит от G следующим образом*: $\bar{f} = 0.15 + (4 \pm 0.1) \times 10^{-3} G$, Гц, [G] = $\text{м}^3/\text{ч}$. За вычетом фона (постоянной подложки в спектре S_Q) частота \bar{f} равна: $\bar{f} = (4.1 \pm 0.1) 10^{-3} G$, Гц.

В то же время вклад суммарной интенсивности этой части спектра (σ_{Na}^2) ("натриевой" компоненты) в полную дисперсию реакторного

шума $\eta_{Na}^2 = \frac{\sigma_{Na}^2}{\sigma_Q^2}$ в большей степени зависит от мощности, чем

от расхода натрия. Например, величина η_{Na}^2 , усредненная по расходу, зависит от W следующим образом:

$$\bar{\eta}^2 = \begin{cases} 67 \pm 7\% & W \leq 0.6 \text{ МВт} \\ 70 \pm 8\% & 0.6 \leq W \leq 1 \text{ МВт} \\ 83 \pm 8\% & W \geq 1.5 \text{ МВт}, \end{cases}$$

т.е. при $W \geq 1.5$ МВт 83% от полной дисперсии реакторного шума связано с натрием.

Пики в спектрах S_Q на частотах ~ 1.8 и ~ 8.2 Гц (рис. 6) коррелируют с поперечными вибрациями ОПО (x): спектральная плотность поперечных отклонений ОПО S_x и взаимная спектральная плотность S_{Qx} содержат аналогичные пики, а функция когерентности $\gamma_{Qx}^2 = \frac{S_{Qx}^2}{S_x S_Q}$

= $\frac{S_{Qx}^2}{S_x S_Q}$ на этих частотах близка к единице. С ростом мощности суммарная относительная интенсивность этих пиков $\eta_{po}^2 = \frac{\sigma_{po}^2}{\sigma_Q^2}$, где

$$\sigma_{po}^2 = \int S_Q(f) df, \quad \Delta f — \text{область определения пиков } 1.8 \text{ и } 8.2 \text{ Гц},$$

уменьшается с 20% ($W = 0.4$ МВт) до $\sim 5\%$ ($W = 1.5$ МВт).

* Получено при $W = 0.4$ МВт.

Размах энергии импульсов мощности $\Delta Q / \bar{Q}$, где $\Delta Q = Q_{\max} - Q_{\min}$ связан с σ_Q / \bar{Q} соотношением: $\Delta Q / \bar{Q} = 7,0 \sigma_Q / \bar{Q}$. При $G = 110 \text{ м}^3/\text{ч}$ и $W = 2 \text{ МВт}$ размах максимальен и равен 14% (за исключением области при $W \leq 1 \text{ кВт}$, где $\Delta Q / \bar{Q} = 25\%$).

Для всей исследованной области изменения W и G ($W \geq 0,3 \text{ кВт}$, $G > 8 \text{ м}^3/\text{ч}$) плотность распределения энергии импульсов мощности близка к усеченному гауссовому распределению (асимметрия и эксцесс не превышают по модулю 0,1). Следовательно, влияние натрия как основного источника флуктуаций мощности в режиме 25 1/c, осуществляется, вероятнее всего, по большому числу сравнительно слабых каналов. Например, через флуктуации тепловых и гидравлических параметров натрия (температуры, скорости, плотности), через вибрации тепловыделяющих элементов и т.д. Экспериментально были оценены только эффекты, связанные с флуктуациями температуры (T) и расхода натрия. Основные результаты корреляционных изменений между колебаниями Q и $G_A, G_B, G, T_{\text{вх}}, T_{\text{вых}}$ и $\Delta T = T_{\text{вых}} - T_{\text{вх}}$ (A, B — петли А и Б первого контура, ΔT — подогрев натрия в активной зоне) состоят в следующем. Спектры колебаний температуры и расхода практически ограничены сверху частотой 1,5 Гц (за исключением температуры $T_{\text{вых}}$, спектр которой близок к квазибелому шуму). Для колебаний всех параметров (кроме $T_{\text{вых}}$) наблюдается их корреляция с мощностью, в основном на средней частоте колебаний расхода и температуры натрия ($f = [0,03; 0,4] \text{ Гц}$). Корреляционная связь между температурой и мощностью ($Q - T$) в среднем выражена в два раза сильнее, чем связь типа $Q - G$.

Случайные эффекты реактивности, оцененные по данным $\sigma_{T_{\text{вх}}}$ и σ_G для $G = 100 \text{ м}^3/\text{ч}$ и $W = 0,4 \text{ МВт}$ ($\sigma_G / \bar{Q} = 0,3\%$), равны соответственно $\sigma_{K_G} \approx 1,5 \cdot 10^{-6} \text{ К}_{\text{эфф}}$ и $\sigma_{K_T} < 10^{-5} \text{ К}_{\text{эфф}}$. В то же время полные случайные эффекты реактивности, соответствующие полным флуктуациям мощности ($\sigma_Q / \bar{Q} = 2\%$), не превышают $4 \cdot 10^{-6}$.

3.4. Режим 5 1/c

Этот режим является основным режимом работы реактора. Применительно к анализу реакторных шумов он характеризуется значительным возрастанием поперечных вибраций ПО (в 1,7 - 1,8 раза), повышением чувствительности реактора к шумам внешней реактивности и общим изменением структуры реакторного шума. Основные сведения об уровне флуктуаций мощности на различных этапах энергетического пуска приведены в табл. 1. Интенсивность колебаний мощ-

* Данные по абсолютным колебаниям температуры ($\sigma_{T_{\text{вх}}} \approx 0,5^\circ\text{C}$) и оценка σ_{K_T} недостаточно надежны: во-первых, из-за высокой инерционности термопары ($\tau = 32 \text{ с}$) и, во-вторых, из-за неопределенности в оценке натриевого температурного коэффициента реактивности.

Таблица 1

Режим 5 1/c. Средние относительные стандартные (σ_Q / \bar{Q}) и максимальные ($\Delta Q / \bar{Q}$) отклонения энергии импульсов мощности, относительная интенсивность флуктуаций мощности, обусловленная вибрациями ПО ($\eta_{\text{по}}^2 / \sigma_Q^2$), протеканием натрия через активную зону ($\eta_{\text{Na}}^2 = \sigma_{\text{Na}}^2 / \sigma_Q^2$) и их суммарная интенсивность ($\eta_{\text{по}}^2 + \eta_{\text{Na}}^2$), а также относительная интенсивность колебаний мощности на частоте ~ 1,63 Гц (%). W, G — соответственно средняя мощность реактора и расход натрия через активную зону; σ_Q^2 — дисперсия энергии импульсов мощности.

Период работы реактора	$W, \text{МВт}$	$G, \text{м}^3/\text{ч}$	σ_Q / \bar{Q}	$\Delta Q / \bar{Q}$	$\eta_{\text{по}}^2$	η_{Na}^2	$\eta_{\text{по}}^2 + \eta_{\text{Na}}^2$	$\eta_{\text{1,63}}$
май 1982 г.	0,4	100	22 ± 0,5	17 ± 2	32 ± 3	58 ± 2	90	32
янв.-июнь 1983 г.	0,15-1,0	26-100	1,9 ± 0,2	13 ± 2	42 ± 3	-	-	38 ± 3
июль-дек. 1983 г.	1,0	80	2,9 ± 1	20 ± 2	42 ± 3	48 ± 2	91	42
янв.-март 1984 г.	1,0	80	2,9 ± 0,2	20 ± 4	53 ± 7	32 ± 8	85	50 ± 8
апрель 1984 г.	1,2-2,0	72-100	4,9 ± 2	34 ± 18	61 ± 6	19 ± 9	80	57 ± 10
май 1984 г.	1,5	85	6,8 ± 0,1	41 ± 2	69 ± 4	12 ± 1	81	66 ± 3
июнь 1984 г.	2,0	90	4,6 ± 1	35 ± 1	51 ± 4	20 ± 5	71	48 ± 3
декабрь 1984 г.	2,0	85	4,5 ± 0,2	30 ± 1	52 ± 2	21 ± 2	73	48 ± 2
средние значения *								
май 1982г.-дек. 84г.	0,15-2,0	26-100	4,3 ± 3	30 ± 22	55 ± 17	25 ± 32	80 ± 10	48 ± 16

ности, обусловленных протеканием натрия через активную зону σ_{Na}^2 (см. табл. 1), вычислялась интегрированием S_Q в частотной области 0,01 - 0,79 Гц с учетом поправки на пик ~ 0,62 Гц, связанный с крутильными колебаниями отражателей. Величина σ_{no}^2 , численное значение которой определяет дисперсию шума, обусловленного вибрациями ПО, вычислялась интегрированием спектра S_Q в тех частотных областях f_1 , в которых значения функций когерентности $\gamma_{Qj}^2 = \frac{S_{Qj}^2}{S_Q S_j}$ ($j = X_0, X_d, \phi$ — соответственно поперечные и фазовые колебания отражателей) удовлетворяли условию $\gamma_{Qj}^2(f_1) \geq 0,5$. На рис. 7 для примера показан типичный спектр колебаний мощности при $W = 2$ МВт и $G = 85$ м³/ч. Там же приведена соответствующая этому спектру форма γ_{Qj}^2 .

Как следует из рис. 5 и табл. 1, отклонения мощности при переходе реактора из режима 25 1/с в режим 5 1/с в среднем возрастают с 2 до

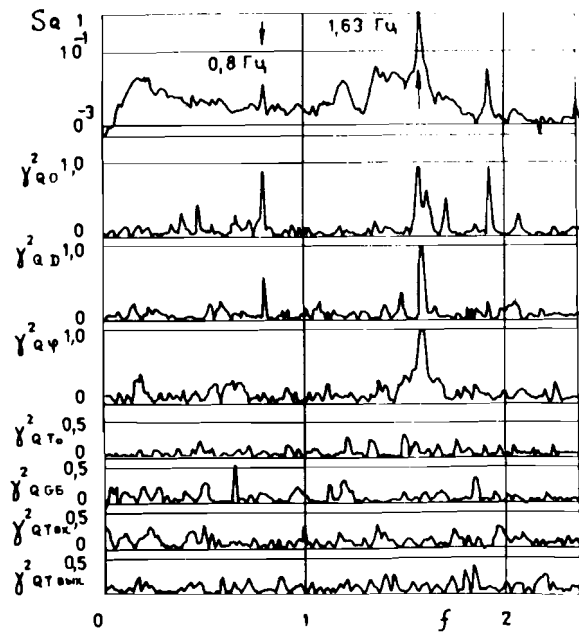


Рис. 7. Режим 5 1/с. Спектральная плотность флуктуаций энергии импульсов мощности S_Q при $W = 2$ МВт и $G = 85$ м³/ч. γ^2 — функция когерентности для параметров: O , D , ϕ — осевых и фазовых колебаний ОПО и ДПО, периода вращения ОПО (T_0), расхода натрия в петле Б первого контура (G_B) и температуры натрия на входе (T_{Bx}) и выходе (T_{By}) из активной зоны. f — частота, Гц.

4,6%, а максимальные — с 14 до 35%. Кроме того, величина η_{no}^2 увеличивается с 7 - 10 до 52 - 58%, а η_{Na}^2 уменьшается с 83 до 17 - 21%. Таким образом, в режиме 5 1/с основным источником случайных возмущений мощности являются вибрации ПО: в основном за счет поперечных вибраций ПО на частоте ~ 1,63 Гц.

Фазовые колебания ПО в нормальных условиях вращения отражателей малы ($\sigma_{\epsilon\phi} \leq 7 \cdot 10^{-8} \Delta K/K$), и их влиянием на шумы мощности можно пренебречь ($\sigma_Q/\bar{Q}|\phi| \leq 0,05\%$). Величина σ_Q/\bar{Q} , как оказалось, существенно зависит от частоты следования импульсов мощности (которая меняется от скорости вращения ПО) и от уровня мощности:

$$\sigma_Q/\bar{Q} = \begin{cases} 0,42 + 15,0 \Delta f, & W = 0,4 \text{ МВт}, \quad r = 0,83 \\ 1,27 + 12,4 \Delta f, & W = 1,0 \text{ МВт}, \quad r = 0,56 \\ 2,88 + 14,4 \Delta f, & W = 2,0 \text{ МВт}, \quad r = 0,76, \end{cases} \quad (6)$$

где $[\sigma_Q/\bar{Q}] = \%$, $\Delta f = f_0 - 4,8 \text{ c}^{-1}$; r — коэффициент корреляции между Δf и σ_Q/\bar{Q} . Выражение (6) можно представить в другом виде:

$$\sigma_Q/\bar{Q} = (\sigma_Q/\bar{Q})_0 + 13,9 \Delta f, \%$$

где

$$(\sigma_Q/\bar{Q})_0 = \begin{cases} 0,54, & W = 0,4 \text{ МВт} \\ 1,05, & W = 1,0 \text{ МВт} \\ 2,93, & W = 2,0 \text{ МВт}. \end{cases}$$

Наличие сильной зависимости σ_Q/\bar{Q} от f_0 во многом объясняет нестабильность средних параметров реакторных шумов от запуска к запуску ПО*. На изменение величины σ_Q/\bar{Q} относительно ее среднего уровня $\langle \sigma_Q/\bar{Q} \rangle$ влияет и ряд других (кроме W , G и f_0) факторов. Часть из них отмечена в табл. 2. Величина $\Delta(\sigma_Q)_i/\langle \sigma_Q \rangle$, представленная в этой таблице, характеризует максимальный относительный разброс стандартных флуктуаций мощности, обусловленных i -м фактором.

* Система стабилизации скорости вращения ПО позволяет менять среднее значение f_0 .

Таблица 2

Режим 5 1/с. Максимальные относительные отклонения стандартных флюктуаций энергии импульсов мощности (%), обусловленные действием некоторых дестабилизирующих факторов

Изменение f_0 с 4,88 до 4,98 1/с	Нестабильность колебаний ПО	Отключение системы AP	Отключение системы ста- билизации	Действие суммарных эффектов скорости ПО
+ 36	± 40	± 18*	± 2 **	± 57 ***

* Для $W \geq 0,15$ МВт и $G \geq 40$ м³/ч

** За интервал времени, равный 30 минутам

*** Суммарное действие всех факторов определялось в предположении их статистической независимости

4. СЛУЧАЙНЫЕ ЭФФЕКТЫ РЕАКТИВНОСТИ

Значения стандартного отклонения полных σ_ϵ и парциальных $\sigma_{\epsilon_{Na}}$, $\sigma_{\epsilon_{PO}}$, $\sigma_{\epsilon_{1,6}}$ эффектов реактивности в режиме 5 1/с представлены в табл. 3. Здесь $\sigma_{\epsilon_{Na}}$, $\sigma_{\epsilon_{PO}}$ и $\sigma_{\epsilon_{1,6}}$ — стандартные отклонения флюктуаций реактивности, связанные, соответственно, с натрием, детерминированным колебаниями ПО и с колебаниями ПО на основной частоте 1,6 Гц. В табл. 3 приведена также величина максимальных отклонений (размах) реактивности $\Delta\epsilon_m$. Эффекты реактивности определялись в следующей форме:

$$\sigma_\epsilon = \frac{\sigma_Q}{Q} \beta_i; \quad \Delta\epsilon_m = \ln(1 + \frac{\Delta Q}{\zeta}) \beta_i;$$

$$\sigma_{\epsilon_i} = \frac{\sigma_Q}{Q} \beta_i \eta_i, \quad i = Na; PO; 1,6,$$

где $\eta_{1,6}^2 = \frac{\int S_Q(f) df}{\sigma_Q^2}$ — относительная интенсивность пика

1,6 Гц в спектре S_Q .

Импульсная доля запаздывающих нейtronов принималась равной $1,6 \cdot 10^{-4}$ (при $f_0 = 5$ 1/с) и $1,9 \cdot 10^{-4}$ (при $f_0 = 25$ 1/с). Для эффектов реактивности, обусловленных совокупным действием вибраций ПО ($\sigma_{\epsilon_{PO}}$) и протеканием натрия через активную зону ($\sigma_{\epsilon_{Na}}$), использовалось соотношение $\sigma_{\epsilon_{\Sigma}} = (\sigma_Q/Q) \beta_i \eta_{\Sigma}$ ($\eta_{\Sigma}^2 = \eta_{Na}^2 + \eta_{PO}^2$), справедливое при условии независимости "натриевых" шумов мощности от шумов, связанных с вибрациями ПО.

Таблица 3

Режим 5 1/с. Полные σ_ϵ , $\Delta\epsilon_m$ и парциальные $\sigma_{\epsilon_{Na}}$, $\sigma_{\epsilon_{PO}}$, $\sigma_{\epsilon_{1,6}}$ случайные отклонения реактивности ($10^{-6} \Delta K/K$), полученные по данным табл. 1. (Пояснения см. в тексте.)

$W, G, m^3/u$	σ_ϵ	$\Delta\epsilon_m$	$\sigma_{\epsilon_{PO}}$	$\sigma_{\epsilon_{Na}}$	$\sigma_{\epsilon_{\Sigma}}$	$\sigma_{\epsilon_{1,6}}$	
0,4	100	3,5 ± 0,8	25,2 ± 3	2,0 ±	2,7 ±	3,3	
1,0	80	4,6 ± 1,6	29 ± 3	3,0 ± 0,8	3,2 ± 0,6	4,4	
1,0	80	4,6 ± 0,3	29 ± 6	3,3 ± 1,9	2,6 ± 1,3	4,2	
I,25-2,0	72-100	7,8 ± 3,2	47 ± 25	6,1 ± 3,1	3,4 ± 2,3	7,0	
I,8	85	10,9 ± 0,2	55 ± 3	9,1 ± 2,2	3,8 ± 1,0	9,8	
2,0	90	7,4 ± 1,6	48 ± 2	5,6 ± 1,5	3,0 ± 1,0	6,4	
2,0	95	7,2 ± 0,3	42 ± 2	5,2 ± 1,0	3,3 ± 1,0	6,2	
с р е д н и е		э на ч е н и я		$3,5 \pm 3,9$		$6,2 \pm 2,2$	
0,4+2,0	72-100	6,9 ± 4	42 ± 35	5,1 ± 2,8	3,5 ± 2,3	4,8 ± 2,9	

Для получения спектральной плотности шумов реактивности S_ρ последняя вычислялась с учетом источника запаздывающих нейтронов^{5/}. Значение реактивности $\Delta\rho$, соответствующее текущему n -му импульсу мощности, вычислялось в виде отклонения относительной реактивности (в долях β_n) от значения $\bar{\rho}$, усредненного по 1024 импульсам (значение $\bar{\rho}$ обычно составляло $10^{-5} \div 10^{-4} \beta_n$):

$$\Delta\rho_n = \ln(Q_n/S_n) - \overline{\ln(Q/S)},$$

где S_n — интенсивность источника нейтронов перед началом развития n -го импульса мощности. Связь между Q_n и ρ_n принималась в виде $Q_n = S_n A \exp(\rho_n)$, где A — коэффициент пропорциональности. Для расчета S_n использовались шесть групп запаздывающих нейтронов. Анализ показал, что оценки реактивности, вычисленные по спектрам S_Q и величине σ_Q/Q с погрешностью $\pm 6\%$, совпадают с точным решением, кроме оценки $\sigma_{\epsilon Na}$, которая оказывается завышенной на 20%.

Типичный спектр флюктуаций реактивности (в режиме 5 1/c) представлен на рис. 8. Зависимость полных σ_ϵ и парциальных $\sigma_{\epsilon 1,6}$, $\sigma_{\epsilon Na}$ эффектов реактивности от мощности реактора приведена на рис. 9, 10. Для того, чтобы в колебаниях энергии импульсов мощности выделить эффекты, связанные только с изменением уровня мощности, измерения проводились при фиксированном значении f_0 ($f_0 = 4,90$ 1/c), и для уменьшения дисперсии, обусловленной случайным изменением динамических параметров ПО, величина σ_Q/Q усреднялась по многим измерениям.

На рис. 9 и 10 приведены также эффекты внешней реактивности $\sigma_{\epsilon po}$ от вибраций ПО, оцененные по данным измерений осевых колебаний отражателей. Связь между $\sigma_{\epsilon po}$ и осевыми колебаниями отражателей принималась в

$$\text{виде: } \sigma_{\epsilon po}^* = B \frac{dK}{dX} \sigma_X, \text{ где}$$

dK/dX — изменение реактивности при осевом сдвиге отражателей, σ_X — стандартное отклонение отражателей, B — коэффициент пропорциональности, учитывающий систематичес-

Рис. 8. Режим 5 1/c. Спектральная плотность флюктуаций реактивности S_ρ при некоторых значениях средней мощности. $G = 85 \text{ м}^3/\text{ч}$, f — частота, Гц.

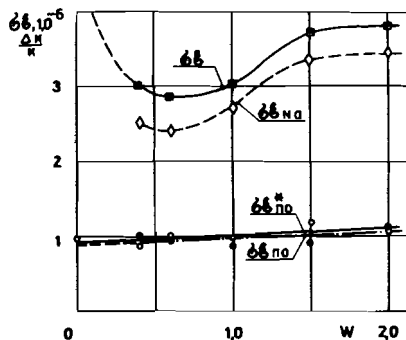
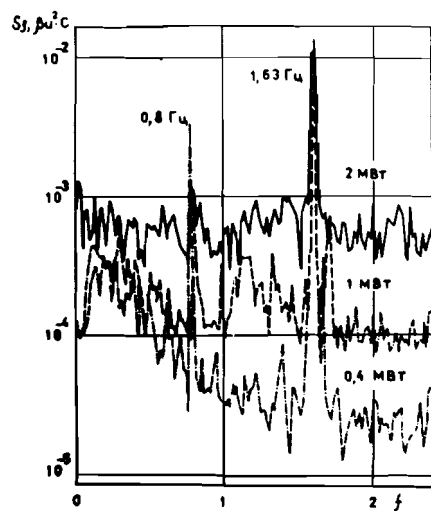


Рис. 9. Режим 25 1/c. Полные σ_ϵ и парциальные $\sigma_{\epsilon Na}$, $\sigma_{\epsilon po}$ стандартные отклонения реактивности как функция W (МВт). $\sigma_{\epsilon po}^*$ — стандартные отклонения внешней реактивности от вибраций ПО, оцененные по данным осевых отклонений ОПО. $G = 100 \div 110 \text{ м}^3/\text{ч}$.

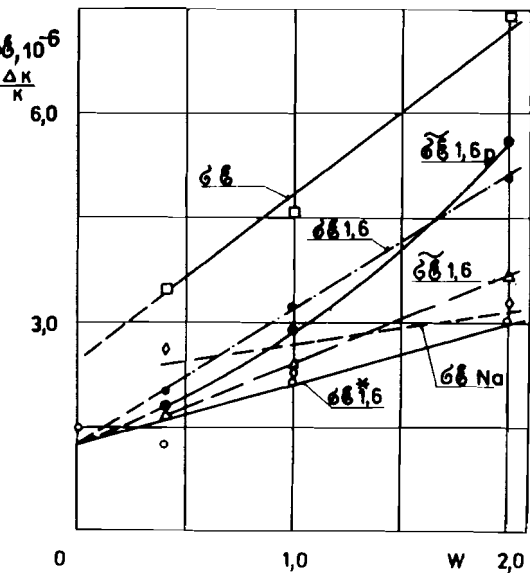


Рис. 10. Режим 5 1/c. Стандартные отклонения полных σ_ϵ и парциальных $\sigma_{\epsilon Na}$, $\sigma_{\epsilon 1,6}$ флюктуаций реактивности как функция W (МВт). $\sigma_{\epsilon 1,6}^*$ — флюктуации внешней реактивности на частоте 1,6 Гц, оцененные по данным поперечных вибраций ПО. $\sigma_{\epsilon 1,6}$ — величина $\sigma_{\epsilon 1,6}^*$, умноженная на передаточную функцию реактора при измеренных параметрах мощностной обратной связи. $\sigma_{\epsilon 1,6 po}$ — расчетная флюктуация с подобранным значением $K_{T_p} G = 85 \div 100 \text{ м}^3/\text{ч}$.

кие погрешности определения dK/dX (10%), калибровки датчиков перемещений отражателей (~10%) и различие колебаний ПО относительно активной зоны и датчика (как показали корреляционные измерения, это различие должно проявляться в виде постоянного множителя). Величина dK/dX , равная $4 \cdot 10^{-4} \text{ мм}^{-1}$ (для ОПО) и $1 \cdot 10^{-4} \text{ мм}^{-1}$ (для ДПО), определена во время физического пуска, а коэффициент B определен в независимых измерениях на мощности менее 0,4 МВт из соотношений $\sigma_{\epsilon po} = \sigma_{\epsilon po}^*$, $\sigma_{\epsilon 1,6} = \sigma_{\epsilon 1,6}^*$ и равен 0,77 (при $f_0 = 5$ 1/c) и 0,67 (при $f_0 = 25$ 1/c)*. В режиме 25 1/c

* Для нижних датчиков положения ПО.

учитывались только вибрации ОПО: $\sigma_{\epsilon_{\text{PO}}}^* = B \frac{dK}{dX} |_{\text{OPO}} \sigma_{X_0}$ (ДПО,

заторможенный у активной зоны, находился вне датчика осевых перемещений)*. В режиме 5 1/с выделена основная компонента реактивности на частоте 1,6 Гц $\sigma_{\epsilon_{1,6}}^*$ (в спектрах S_{X_0} , S_{X_d} и S_Q эта компонента доминирует)**. Величина $\sigma_{\epsilon_{1,6}}^*$ определялась из выражения:

$$\sigma_{\epsilon_{1,6}}^* = B [\sum_i \left(\frac{dK}{dX} |_{\text{i}} \sigma_{X_i} \eta_{1,6,i} \right)^2]^{1/2}, \quad i = \text{ОПО, ДПО};$$

$\eta_{1,6,i}^2$ — относительная интенсивность линии 1,6 Гц в спектрах по-перечных колебаний ПО. Все экспериментальные данные аппроксимировались линейной зависимостью от W (за исключением зависимости $\sigma_{\epsilon_{Na}}$ в режиме 25 1/с, которая существенно нелинейна; см. рис. 9). Экстраполированные в точку $W = 0$ эффекты реактивности от вибраций ПО, определенные по флюктуациям мощности ($\sigma_{\epsilon_{\text{PO}}}^*$, $\sigma_{\epsilon_{1,6}}^*$), практически совпадают с эффектами внешней реактивности, полученными по данным измерения осевых колебаний ПО ($\sigma_{\epsilon_{\text{PO}}}^*$, $\sigma_{\epsilon_{1,6}}^*$).

В режиме 5 1/с (рис. 10) различие между $\sigma_{\epsilon_{1,6}}^*(W)$ и $\sigma_{\epsilon_{1,6}}^*(W)$ статистически значимо и не объясняется разбросом измеряемых параметров. Можно предположить, что механизм этого явления связан с мощностной обратной связью. Возможность увеличения флюктуаций мощности реактора ИБР-2 при увеличении W теоретически показана в работах***. Однако, согласно, например, расчетной модели****, амплитудно-частотная характеристика реактора на частоте 1,63 Гц $H(1,6) = \sigma_{\epsilon_{1,6}}^* / \sigma_{\epsilon_{1,6}}^*(W)$ должна при изменении W от 0 до 2 МВт возрасти всего в 1,24 раза, в то время как ее наблюдаемое возрастание равно 1,7***. Различие можно объяснить в рамках модели**** следующим образом. При фиксированной частоте колебаний внешней реактивности f_p (в данном случае $f_p = f_0/3$) единственным параметром, определяющим величину $H(1,6)$, является безразмерный параметр $r = (1 + K_{\beta} K_T Q_0) \phi$, где (сохранены обозначения, применяемые в работе****) $K_{\beta} = \beta^{-1}$, K_T — температурный коэффициент реактивности, Q_0 — средняя энергия импульсов мощности (в единицах температуры), $\phi = \exp(-a/f_0)$, a — константа тепловой инерционности активной зоны. Значения параметров β , K_T и a определены

* Эффекты реактивности от вибраций ДПО даже в режиме 50 1/с малы, а в режиме 25 1/с ими практически полностью можно пренебречь.

** Величина $\sigma_{\epsilon_{1,6}}^*$ пропорциональна амплитуде внешней реактивности ϵ_0 на частоте 1,6 Гц: $\epsilon_0 = \sqrt{2} \sigma_{\epsilon_{1,6}}^*$.

*** Расчетная модель**** для величины $H(1,6)$ также дает заниженный по сравнению с экспериментальным результат.

экспериментально: $\beta_{\text{и}} = 1,6 \cdot 10^{-4}$ ($f_0 = 5$ 1/с), $K_T = -(5-6) \cdot 10^{-6}$ 1/град, $a = 0,1$ с⁻¹ ($\phi = 0,98$). Коэффициент K_T , соответствующий мощностному коэффициенту реактивности $K_Q = -0,01 \beta_{\text{и}}$, был определен в динамических измерениях совместно с a и справедлив на интервалах времени более ~2 с⁵. Анализ показывает, что в области малых времен, сравнимых с периодом следования импульсов мощности ($\Delta f \leq 0,2$ с), значения K_T и a могут отличаться от измеренных.

Оценим эти коэффициенты из анализа флюктуаций мощности. Коэффициент a слабо влияет на параметр r и соответственно на величину $H(1,6)$, поэтому его возможным отличием от измеренного значения в первом приближении можно пренебречь*. Приняв $a = 0,1$ с⁻¹ и варьируя при расчете $H(1,6)$ значение K_T , получим, что наилучшее согласие с экспериментальной зависимостью $\sigma_{\epsilon_{1,6}}^*(W)$ имеет зависимость $\sigma_{\epsilon_{1,6,p}}^*(W)$ (см. рис. 10). Значение K_T в этом случае оказалось в 2 раза больше измеренного.

В режиме 25 1/с зависимости $\sigma_{\epsilon_{\text{PO}}}^*(W)$ и $\sigma_{\epsilon_{1,6}}^*(W)$ практически совпадают ($H = \sigma_{\epsilon_{\text{PO}}}^*/\sigma_{\epsilon_{1,6}}^* \approx 1$, см. рис. 9). Это согласуется с теоретическими выводами обеих моделей****. Так, в модели**** величина Q_0 в пять раз меньше, чем в режиме 5 1/с, и эффекты обратной связи не проявляются. Для интерпретации экспериментальных данных по модели**** отметим, что основной вклад в $\sigma_{\epsilon_{\text{PO}}}^*(W)$ вносят колебания реактивности на частоте 1,8 Гц (см. рис. 6, 90%), на которой расчетная передаточная характеристика реактора при $0,4 \leq W \leq 2$ МВт близка к единице.

5. ОСНОВНЫЕ ВЫВОДЫ

5.1. Флюктуации мощности реактора ИБР-2 малы, и в период энергетического пуска (1980-1984 гг.) в среднем составляли в режиме 5 1/с $4,3^{+3}_{-2}\%$ (стандартные) и $30^{+22}_{-13}\%$ (максимальные). Соответственно в режиме 25 1/с — 2 и 25%.

5.2. Основным источником случайных возмущений мощности в режиме 5 1/с являются вибрации ПО (52-58%), а в режиме 25 1/с — протекание натрия через активную зону (83%).

5.3. Случайные неконтролируемые эффекты реактивности не превышали $(42^{+35}_{-20}) \cdot 10^{-8} \Delta K/K$.

5.4. Величина и структура случайных колебаний реактивности (мощности) в основном зависят от режима вращения ПО, расхода натрия и от уровня средней мощности.

* Если только истинное значение a не отличается от измеренного по крайней мере на порядок.

5.5. Возрастание шумов в 1,7 раза при изменении мощности в режиме 5 1/с от 0 до 2 МВт отличается от расчетного, равного 1,24. Качественное объяснение получено в рамках модели⁶, если принять, что значение мощностного коэффициента в быстрых процессах в 2,6 раза больше измеренного.

Автор благодарит В.В.Мелихова, А.Д.Рогова и А.С.Савватеева за помощь в проведении измерений, Е.П.Шабалина за постоянный интерес к данной теме и полезные замечания.

ЛИТЕРАТУРА

1. Вагов В.А. и др. Сообщение ОИЯИ. Р13-82-533, Дубна, 1982.
2. Пепёлышев Ю.Н., Рогов А.Д. Сообщение ОИЯИ, Р13-84-73, Дубна, 1984.
3. Пепёлышев Ю.Н., Хан Пхун Ги. Сообщение ОИЯИ, 13-85-234, Дубна, 1985.
4. Шабалин Е.П. Импульсные реакторы на быстрых нейтронах. М., Атомиздат, 1976.
5. Пепёлышев Ю.Н., Попов А.К., Рогов А.Д. Сообщение ОИЯИ, Р13-83-471, Дубна, 1983.
6. Шабалин Е.П. АЭ, 1986, т.61, вып. 6.
7. Попов А.К. АЭ, 1987, т.62, вып. 3.

Рукопись поступила в издательский отдел
22 января 1988 года.

WILL YOU FILL BLANK SPACES IN YOUR LIBRARY?

You can receive by post the books listed below. Prices — in US \$, including the packing and registered postage.

D13-84-63	Proceedings of the XI International Symposium on Nuclear Electronics. Bratislava, Czechoslovakia, 1983.	12.00
E1,2-84-160	Proceedings of the 1983 JINR-CERN School of Physics. Tabor, Czechoslovakia, 1983.	6.50
D2-84-366	Proceedings of the VII International Conference on the Problems of Quantum Field Theory. Alushta, 1984.	11.00
D1,2-84-599	Proceedings of the VII International Seminar on High Energy Physics Problems. Dubna, 1984.	12.00
D17-84-850	Proceedings of the III International Symposium on Selected Topics in Statistical Mechanics. Dubna, 1984 (2 volumes).	22.00
	Proceedings of the IX All-Union Conference on Charged Particle Accelerators. Dubna, 1984. (2 volumes)	25.00
D11-85-791	Proceedings of the International Conference on Computer Algebra and Its Applications in Theoretical Physics. Dubna, 1985.	12.00
D13-85-793	Proceedings of the XII International Symposium on Nuclear Electronics, Dubna, 1985.	14.00
D4-85-851	Proceedings of the International School on Nuclear Structure Alushta, 1985.	11.00
D1,2-86-668	Proceedings of the VIII International Seminar on High Energy Physics Problems, Dubna, 1986 (2 volumes)	23.00
D3,4,17-86-747	Proceedings of the V International School on Neutron Physics. Alushta, 1986.	25.00
D9-87-105	Proceedings of the X All-Union Conference on Charged Particle Accelerators. Dubna, 1986 (2 volumes)	25.00
D7-87-68	Proceedings of the International School-Seminar on Heavy Ion Physics. Dubna, 1986.	25.00
D2-87-123	Proceedings of the Conference "Renormalization Group-86". Dubna, 1986.	12.00
D4-87-692	Proceedings of the International Conference on the Theory of Few Body and Quark-Hadronic Systems. Dubna, 1987.	12.00
D2-87-798	Proceedings of the VIII International Conference on the Problems of Quantum Field Theory. Alushta, 1987.	10.00
D14-87-799	Proceedings of the International Symposium on Muon and Pion Interactions with Matter. Dubna, 1987.	13.00

Orders for the above-mentioned books can be sent at the address:
Publishing Department, JINR
Head Post Office, P.O.Box 79 101000 Moscow, USSR